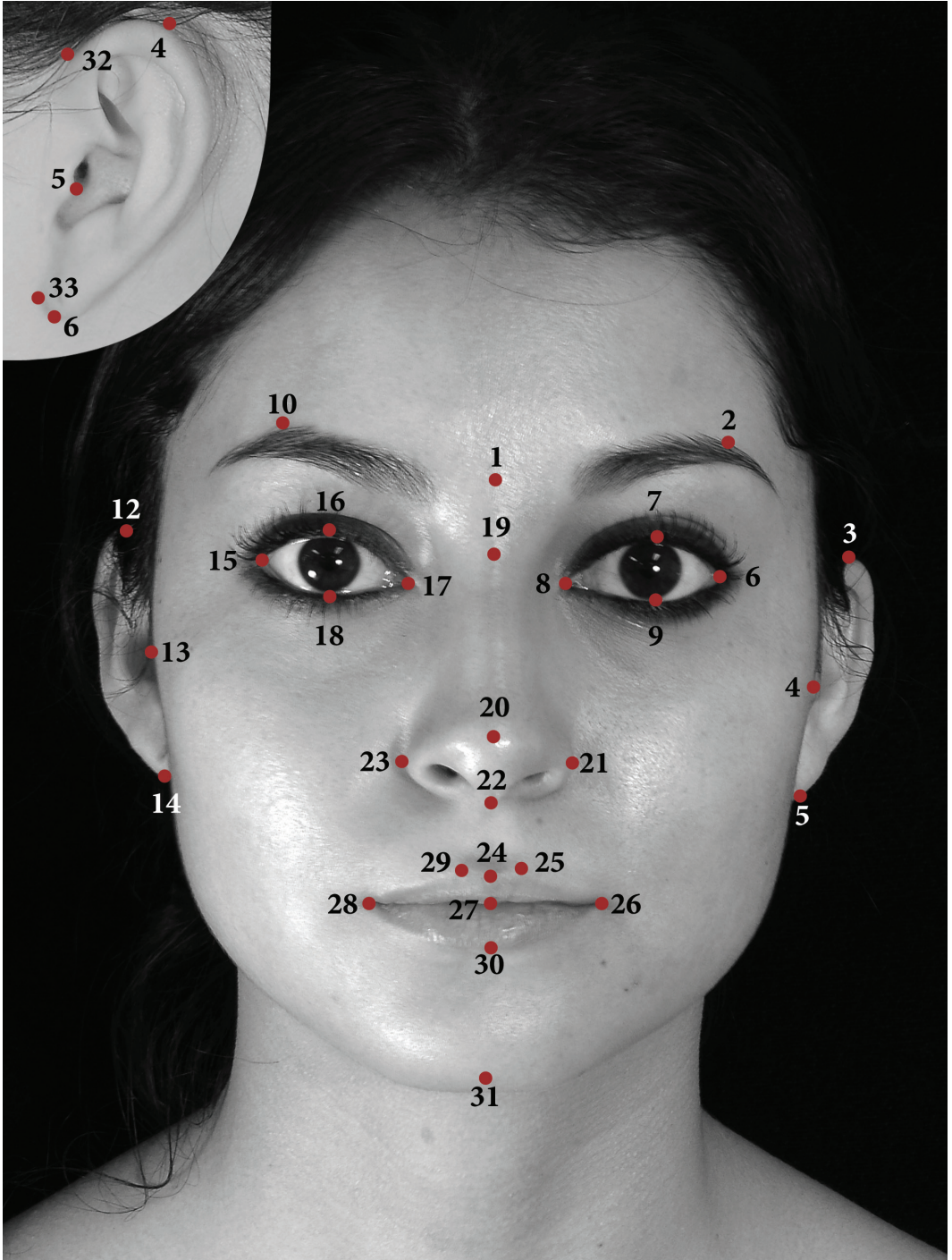


**Material suplementario 1. Definiciones anatómicas de los landmarks faciales empleados en este análisis**

Número	Nombre	Definición anatómica
Sagitales		
1	Glabela	El punto sobre la línea media a la altura de los arcos superciliares
18	Nasion (sellion)	El punto medio de la sutura nasofrontal
19	Pronasal	El punto más prominente de la nariz
21	Subnasal	El punto medio donde se une el borde inferior del septum nasal, la partición que divide las narinas y la porción cutánea del labio superior
23	Labial superious	El punto medio del borde vermilion sobre el labio superior
26	Stomion	El punto medio de la fisura labial cuando los labios están cerrados naturalmente
29	Labial inferioris	El punto medio del borde vermilion del labio inferior
30	Gnathion	El punto más bajo en la línea media del borde inferior de la barbilla
Bilaterales		
2,10	Frontotemporal	El punto más medial sobre la cresta temporal del hueso frontal
3,11	Superaural	El punto máximo en el borde superior de la oreja
4,12	Tragion	La punta del tragus
5,13	Subaurale	El punto más bajo en el borde inferior de la oreja
6,16	Exocanthion	La esquina exterior de la hendidura del ojo derecho donde los párpados se encuentran.
7,15	Palpebral superioris	El punto más alto en el margen superior de la porción media del párpado
8, 14	Endocanthion	La esquina interior de la hendidura del ojo derecho donde los párpados se encuentran, no es caruncular
9, 17	Palpebrale inferioris	El punto más bajo en el medio del margen del párpado inferior
20,22	Alar	El punto más lateral sobre el ala nasal
24,28	Crista philtrum	El punto sobre la cresta de la depresión infranasal (philtrum), cuando este cruza con el borde vermilion
25,27	Cheilion	La esquina externa de la boca donde los bordes externos del vermilion superior e inferior se encuentran
31,33	Otobasion superioris	El punto superior de la unión entre el lóbulo y la cabeza (punto de inserción de la oreja)
32,34	Otobasion inferioris	El punto inferior de la unión entre el lóbulo y la cabeza (punto de inserción de la oreja)



**Material suplementario 2. Resultados del Procrustes ANOVA y MANOVA con el sexo como covariable**

Procrustes ANOVA					
Efecto	SS	MS	df	F	P (param.)
Sexo	0.499	0.010	51	163.98	<.0001
Individuo	12.654	0.000	212160	6.64	<.0001
AD	0.075	0.002	44	188.74	<.0001
AF	1.646	0.000	183084	1.24	<.0001
Error	0.113	0.000	15675		

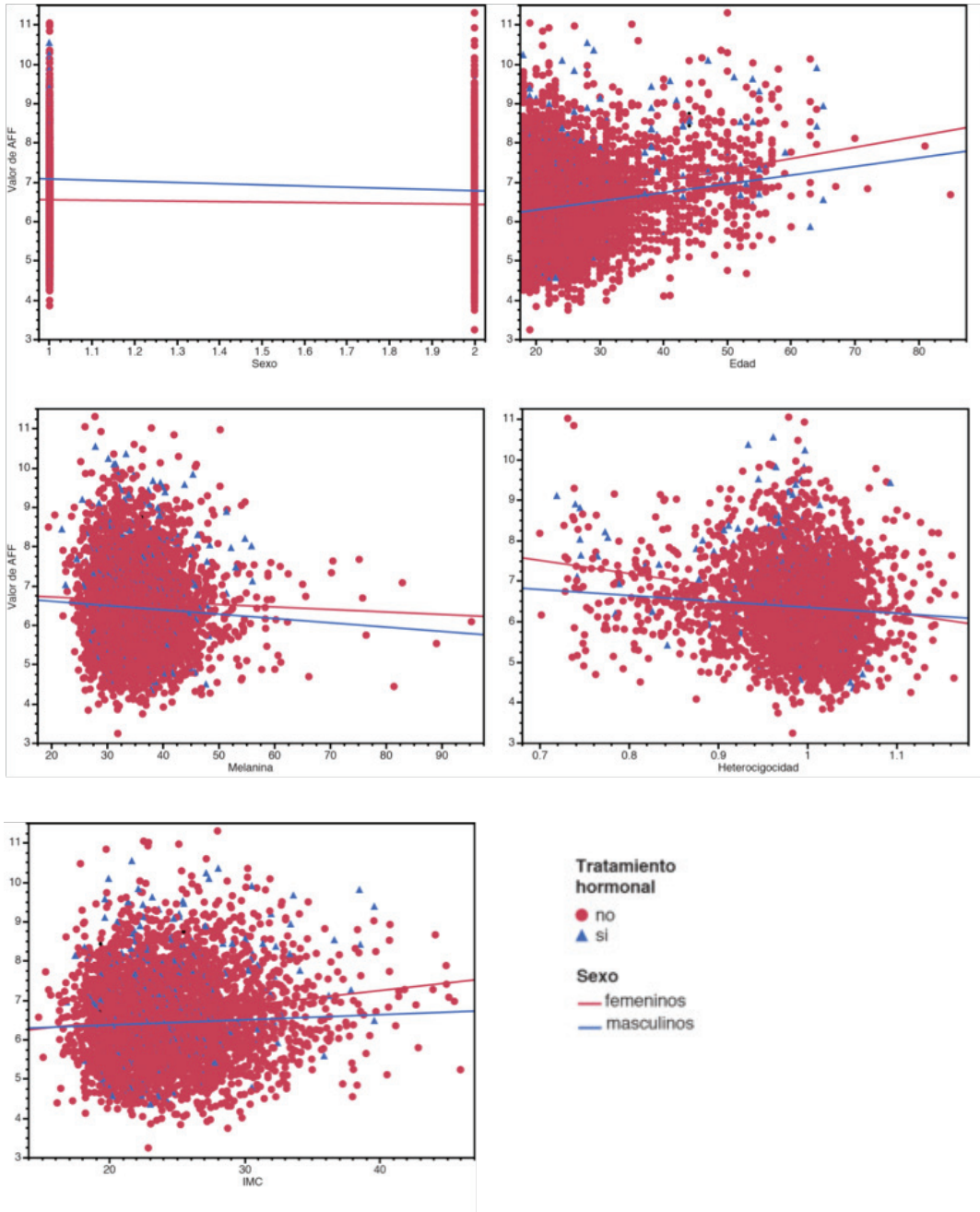
Prueba de efectos MANOVA					
Componente simétrico			Componente asimétrico		
Efecto	Pillai tr.	P (param.)	Efecto	Pillai tr.	P (param.)
Sexo	0.66	<.0001	Sexo	0.1	<.0001
Individuo	51.52		AD	0.75	<.0001
			AF	43.02	<.0001

**Material suplementario 3. Resultados del modelo de regresión múltiple\* para las covariables edad, IMC, índice de melanina y heterocigosidad**

Variable	gl	SS	F	p
Edad	1	0.039	0.027	0.869
IMC	1	4.455	3.130	0.079
Índice de melanina	1	3.364	2.363	0.126
Heterocigosidad	1	27.318	19.194	<.0001

\* todo el modelo resulta significativo F 5.98 p 0.002, ajustando para  $r^2$  0.12 con RMSE 1.19

**Material suplementario 4.** Correlaciones entre los valores de asimetría fluctuante facial (AFF) y las covariables: sexo, edad, IMC, melanina y la heterocigosidad, como indicador de ancestría genética



**Material suplementario 5. Resultados del ACP realizado sobre los datos de mujeres que reportaron algún tratamiento hormonal asociado**

Número	Eigenvalores	Varianza	% Var. Acumulada
1.	0.00010977	25.082	25.08
2.	0.00004945	11.299	36.38
3.	0.00003543	8.096	44.48
4.	0.00002533	5.787	50.26
5.	0.00002137	4.882	55.15
6.	0.00001974	4.511	59.66
7.	0.00001749	3.996	63.65
		[...]	
38.	0.00000091	0.208	99.19
39.	0.00000077	0.176	99.36
40.	0.00000069	0.158	99.52
41.	0.00000066	0.150	99.67
42.	0.00000059	0.134	99.81
43.	0.00000045	0.103	99.91
44.	0.00000040	0.091	100.00

Varianza total : 0.00043766